

### 2.1 Модификация метода Йоффе

## ИЗМЕРЕНИЕ ТЕПЛОПРОВОДНОСТИ И ТЕПЛОЕМКОСТИ ТЕМПЕРАТУРОПРОВОДНОСТИ И ТЕПЛОЕМКОСТИ ОБРАЗЦОВ ВИДА ПОЛОГО ЦИЛИНДРА

ШТЕФАН БАРТА, (Štefan Bárta), ИОСИФ БИЕЛЕК (Jozef Bielik),  
ЮЛИЙС КРЕМПАСКИ, (Julius Krempaský), Братислава

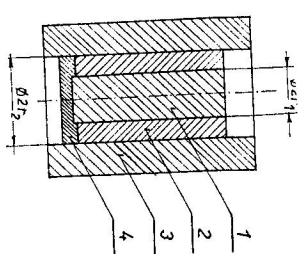
В работе теоретически и экспериментально решены проблемы, связанные с измерением теплопроводности, температуропроводности и теплоемкости веществ, если образцы имеют вид полого цилиндра. Разработаны и экспериментально проверены многие методы измерения этих параметров. Речь идет о нестационарных методах измерения с использованием коротковременных и постоянно действующих источников тепла.

### 4. ВВЕДЕНИЕ

На практике нередко требуется измерять тепловые свойства материалов, которые имеют вид полых цилиндров (графитовые или керамические трубы, сыпучие материалы, жидкости и т. д.). До сих пор для этой цели пользовались стационарным методом [1—3] который достаточно точен, но все же он имеет несколько недостатков: 1. При измерении нужно пользоваться относительно длинными образцами (высота образцов должна во много раз превышать толщину). 2. Нужно пользоваться идеальной тепловой изоляцией. 3. Измерение продолжается достаточно долго (в зависимости от величины теплопроводности). 4. Метод позволяет измерить только теплопроводность. По этим причинам этот метод не пригоден для измерения большего количества образцов, а поэтому его нельзя абсолютно использовать для быстрого контроля изделий серийного выпуска.

В этой работе разработаны методы измерения, у которых (кроме метода с постоянно действующим источником тепла) нет этих недостатков. Они основаны на нестационарном состоянии, измерение проходит очень быстро, можно при них пользоваться малыми образцами, тепловые потери из поверхности очень слабо влияют на результаты измерений и при выполнении некоторых предположений эти методы достаточно точны. Кроме измерений результатами, полученными при теоретическом решении, можно пользоваться даже при расчете некоторых технических проблем теплового транспорта через материалы вида полого цилиндра.

Рис. 1. Расположение аппарата для измерения теплопроводности образцов вида полого цилиндра модифицированным методом Йоффе (1 — цилиндр, 2 — измеряемый образец, 3 — внешний блок, 4 — кольцо, которое должно термо и электрически изолировать и центрировать образец).



Если в момент времени  $t = 0$  внутренний цилиндр имеет температуру  $T_{0e}$ , внешний цилиндр температуру  $T_{0o}$  и  $T_{0e} > T_{0o}$ , то возникает тепловой транспорт из первого цилиндра в другой. Если предположить, что измеряемый образец имеет достаточно большое тепловое сопротивление (из-за никакой теплопроводности или большой толщины), возникающий процесс распространения тепла имеет характер квазистационарного процесса, поэтому количество тепла  $\Delta Q$ , которое за время  $\Delta t$  переходит из внутреннего блока во внешний, можно выразить следующим образом:

Для быстрого измерения теплопроводности материалов, специально полупроводниковых, пользовались и теперь еще пользуются методом, разработанным А. В. Йоффе и А. Ф. Йоффе [4—5]. Этот метод основан на транспорте тепла из тела ограниченной теплоемкостью через дисковой образец в тело с бесконечной теплоемкостью и с меньшей температурой. Измерением понижения температуры в первом блоке можно рассчитать теплопроводность, как показано в работе [6], а также температуропроводность. Как указано в дальнейшем, этот метод необходим для расчета коррекции на тепловые потери из верхнего блока в атмосферу, на контактное сопротивление, на потерю из верхнего блока в нижний, на ограниченную скорость распространения теплоты в блоке и т. д. Эти коррекции рассчитаны в работах [7—9], но более подробно в работе [10]. Этим же принципом можно пользоваться и при измерении теплопроводности образцов полого цилиндра (рис. 1). Цилиндрический блок (1) из материала с достаточно большой теплопроводностью (серебро, медь) имеет функцию теплового источника с ограниченной емкостью. Внешний цилиндр (3), в котором помещен образец (2) изготовлен из материала с хордой теплопроводностью.

$$mc\Delta T = \frac{2\pi h}{\ln(r_2/r_1)} (T - T_{02})\Delta t, \quad (1)$$

где  $m$  — масса цилиндра,  $c$  — теплоемкость,  $\Delta T$  — понижение температуры за время  $\Delta t$ ,  $h$  — высота цилиндра и образца,  $T$  — температура цилиндра,  $\lambda$  — теплопроводность,  $r_1$  — радиус цилиндра,  $r_2$  — внутренний радиус прошедшего блока. Если выразить массу  $m$  через удельный вес  $\gamma$ , то из уравнения (1) можно получить для теплопроводности следующее выражение

$$\lambda = \frac{r_1^2 \gamma c \ln(r_2/r_1)}{2} \frac{\Delta T}{(T - T_{02})\Delta t}. \quad (2)$$

Эта формула позволяет измерить теплопроводность, если определить понижение температуры за короткое время (независимо от времени, прошедшего от начала измерения). Предполагается, что  $\Delta T \ll T - T_{02}$ .

Измерение может производиться таким образом, что зависимость

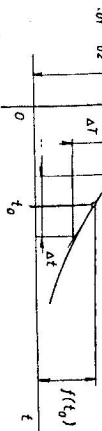


Рис. 2. Временная зависимость  $T(t) - T_{02} = f(t)$ .

$T - T_{02} = f(t)$  графически изображается (рис. 2) или непосредственно записывается самописцом, а теплопроводность рассчитывается на основе выражения (2) с помощью величин в нескольких местах графика. Возможно также получить и математическое выражение зависимости  $T - T_{02} = f(t)$ .

Если разности в выражении (2) заменим дифференциалами  $\Delta T \rightarrow -dT$ ,  $\Delta t \rightarrow dt$ , положим  $T_{02} = 0$  и обозначим

$$a = \frac{2\lambda}{r_1^2 \gamma c \ln(r_2/r_1)},$$

то получим дифференциальное уравнение

$$\frac{dT}{T} = -adt.$$

с начальным условием  $T(t=0) = T_{01}$ , которое имеет решение

$$T = T_{10} e^{-at}. \quad (3)$$

Если определить экспонент, то в этой формуле можно также рассчитать теплопроводность.

Если образец не имеет достаточной толщины для того, чтобы процесс был стандартным сразу же после начала измерения, можно между внутренним цилиндром и образцом или между образцом и внешним цилиндром поместить другие цилиндры, изготовленные из материала с известными тепловыми свойствами. При этом возникают проблемы подготовки хороших тепловых контактов. Эти проблемы практически отпадают, если вместо взломогательных цилиндров пользуются жидкостью с хорошим коэффициентом пропускания тепла. В этом сложном случае уравнение (1) имеет вид

$$mc\Delta T = \frac{2\pi h\Delta t}{\sum_{i=1}^{n-1} \frac{1}{\lambda_i} \ln(r_{i+1}/r_i)} (T - T_{0n}), \quad (4)$$

и экспонент  $a$  в выражении (3) можно определить формулой

$$a = \frac{2}{\sum_{i=1}^{n-1} \frac{1}{\lambda_i} \ln(r_{i+1}/r_i)}. \quad (5)$$

При сравнении с методом Йордже этот метод имеет то преимущество, что не возникают тепловые потери из теплого источника в окружающую атмосферу. При измерении веществ с низкой теплопроводностью метод можно упростить еще таким образом, что внутренний и внешний цилиндры заменяются жидкостью. При измерении нужно жидкость перемешивать.

2. 2 Метод теплового импульса на изолированном образце

Нетрудно получить формулы для измерения теплопроводности полых цилиндров, если при измерении пользуются кратковременно действующим источником теплоты, который каждой единице площади внутренней стороны образца отдает одинаковое количество теплоты.

Пусть  $a$  — внутренний радиус образца,  $b$  — внешний — достаточно большой (рис. 3). Найдем функцию, определяющую изменения температуры в точках

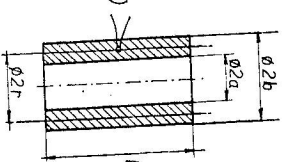


Рис. 3. Сечение измеряемого образца.

цилиндрической площади с радиусом  $r$ . При этом будем пользоваться температурной функцией, определяющей распределение температуры, возникающее при действии линейного источника [4—13], имеющей вид

$$T_e = \frac{\Delta Q'_0}{4\pi kt} \exp \left[ -\frac{r^2}{4kt} \right] \Phi[h/4\sqrt{kt}], \quad (6)$$

где  $\Delta Q'_0$  — количество тепла, выделенное каждой единицей длины линейного источника. Ввиду того, что процессы аддитивны, мы можем температуру, соответствующую действию площадного источника, определить интегралом

$$T = \int T_e^*(r', t) ds, \quad (7)$$

где  $T_e^*$  получится из функции  $T_e$ , если в ней заменить  $\Delta Q'_0$  на  $\Delta Q_0$  и

$$r'^2 = a^2 + r^2 - 2ar \cos \varphi, \quad (8)$$

где  $\Delta Q_0$  значит количество тепла выделено единицей площади. Подставив выражений (6) и (8) в интеграл можно рассчитать температурную новкой функцию в виде

$$T(r, t) = \frac{a\Delta Q_0}{2kt} \exp \left[ -\frac{a^2 + r^2}{4kt} \right] I_0 \left[ \frac{ar}{2kt} \right] \Phi \left[ \frac{h}{4\sqrt{kt}} \right], \quad (9)$$

Как вытекает из характера функций, выступающих в соотношении (9), функция  $T(r, t)$  имеет в промежутке  $t \in (0, \infty)$  один максимум. Выберем  $h$  и  $r$  так, чтобы  $h/4\sqrt{kt} > 1$ ,  $ar/2kt > 1$  и чтобы промежуток  $0 < t < \tau$ , определенный этими условиями, содержал время  $t_m$ , для которого наступает максимум; это можно выполнить, учитывая характер метода (отсчет температуры). Характер метода измерения такой, что оно окончено раньше, чем во времени  $t \leq (r - a)^2/2k$ , а потому нетрудно выполнить условии  $h/4\sqrt{kt} > 1$ ,  $ar/2kt > 1$ . Но в таком случае

$$\Phi \left[ \frac{h}{4\sqrt{kt}} \right] \approx 1, \quad (10a)$$

$$I_0 \left[ \frac{ar}{2kt} \right] \approx \left( \frac{kt}{\pi ar} \right)^{1/2} \exp \left[ \frac{ar}{2kt} \right] \quad (10)$$

и функция (9) принимает простейший вид

$$T(r, t) = \frac{\Delta Q_0}{2\lambda} \left( \frac{ka}{\pi rt} \right)^{1/2} \exp \left[ -\frac{(r - a)^2}{4kt} \right]. \quad (11)$$

Эта функция имеет экстремум при  $t_m = d^2/2k$ , где  $d = r - a$ , из которого можно получить следующие формулы, пригодные уже для измерения

$$k = \frac{d^2}{2t_m}, \quad (12a)$$

$$\lambda = 0,214 \left( \frac{a}{r} \right)^{1/2} \frac{\Delta Q_0 d}{T_m t_m}, \quad (12b)$$

$$c = 0,4289 \left( \frac{a}{r} \right)^{1/2} \frac{\Delta Q_0}{\gamma d T_m}, \quad (12c)$$

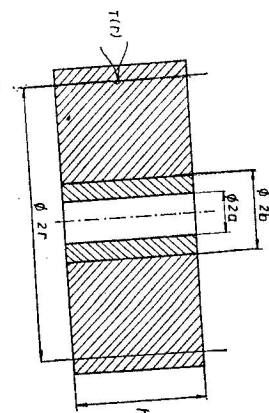
где  $T_m$  — максимальное температурное повышение,  $t_m$  — время, в котором экстремум возникает.

Из выражений (12) следует, что аппроксимации (10) выполнены, если  $h > \sqrt{2}(r - a)$  и  $ar > (r - a)^2$ . Чтобы набирать влияния граничных условий на поверхности образца на результаты измерений, должно быть  $b - a > 3(r - a)$ . Если величины  $a$ ,  $b$  — достаточно большие, функция (11) переходит в функцию площадного теплового источника, полученную в работах [14—15].

2. 3 Измерение на образце, помещенном в другой материал

Если у измеряемого образца толщина стенки недостаточна, нужно поместить его в другой материал, в котором находится температурный индикатор (рис. 4). В этом случае расчет температурного поля предстанет собой проблему. Такая система интересна и с другой точки зрения (например, нагревание окружающей среды кабелем), поэтому не удивительно, что существуют многие попытки аналитического решения этой проблемы [16—18]. Полученные результаты пригодны для некоторых теплотехнических расчетов, но ими практически нельзя пользоваться для измерительных целей. Нам удалось (см. приложение 1) довести решение основного

Рис. 4. Сечение измеряемым образцом в том случае, когда он помещен в другой материал.



дифференциального уравнения теплопроводности до такого вида, из которого после некоторых упрощений можно было вывести формулы, пригодные для измерения.

Они имеют следующий вид:

$$\begin{aligned}
 T_2(r, t) = & \frac{2Q}{\kappa_0} \left( \frac{a}{\pi r^2 t} \right)^{1/2} \sum_{i=0}^{\infty} (-1)^i \kappa^i \exp \left[ -\frac{\alpha_i^2}{4k_1 t} \right] - \\
 & - \frac{Q}{4\kappa_0 r} \left( \frac{ak_2}{r} \right)^{1/2} \sum_{i=0}^{\infty} (-1)^i \kappa^i \Phi^* \left[ \frac{\alpha_i}{2\sqrt{k_1 t}} \right] - \frac{Q}{4} \left( \frac{ak_1}{r} \right)^{1/2} \times \\
 & \times \frac{3 \left( \frac{1}{a} - \frac{1}{b} \right) \sqrt{\lambda_1 c_1 \gamma_1} + \left( \frac{3}{a} + \frac{1}{b} \right) \sqrt{\lambda_2 c_2 \gamma_2}}{\kappa_0^2} \sum_{i=0}^{\infty} (-1)^i \kappa^i (i+1) \times \\
 & \times \Phi^* \left[ \frac{\alpha_i}{2\sqrt{k_1 t}} \right] - \frac{Q}{4} \left( \frac{ak_1}{r} \right)^{1/2} \frac{3 \left( \frac{1}{a} - \frac{1}{b} \right) \sqrt{\lambda_1 c_1 \gamma_1} - \left( \frac{3}{a} + \frac{1}{b} \right) \sqrt{\lambda_2 c_2 \gamma_2}}{\kappa_0^2} \times \\
 & \times \sum_{i=0}^{\infty} (-1)^i \kappa^i (i+1) \Phi^* \left[ \frac{\beta_i}{2\sqrt{k_1 t}} \right] + \frac{Q}{4b} \left( \frac{ak_2}{r} \right)^{1/2} \frac{\sqrt{\lambda_1 c_1 \gamma_1} - 3\sqrt{\lambda_2 c_2 \gamma_2}}{\kappa_0^2} \times \\
 & \times \sum_{i=0}^{\infty} (-1)^i \kappa^i (i+1) \Phi^* \left[ \frac{\alpha_i}{2\sqrt{k_1 t}} \right] - \frac{Q}{4b} \left( \frac{ak_2}{r} \right)^{1/2} \times \\
 & \times \sum_{i=0}^{\infty} (-1)^i \kappa^i (i+1) \Phi^* \left[ \frac{\beta_i}{2\sqrt{k_1 t}} \right], \quad (13)
 \end{aligned}$$

где

$$\begin{aligned}
 \kappa &= \frac{\sqrt{\lambda_1 c_1 \gamma_1} - \sqrt{\lambda_2 c_2 \gamma_2}}{\sqrt{\lambda_1 c_1 \gamma_1} + \sqrt{\lambda_2 c_2 \gamma_2}}, \\
 \kappa_0 &= \sqrt{\lambda_1 c_1 \gamma_1} + \sqrt{\lambda_2 c_2 \gamma_2}, \\
 \alpha_i &= (r-b) \sqrt{k_1/k_2} + (2i+1)(b-a), \\
 \beta_i &= (r-b) \sqrt{k_1/k_2} + (2i+3)(b-a).
 \end{aligned}$$

Величины обозначенные индексом 1 касаются внутреннего цилиндра, индексом 2 — внешнего цилиндра. При решении предполагалось, что диаметр внешнего цилиндра имеет такую величину, что до окончания измерения граничные условия на его поверхности не имеют никакого влияния на измеряемую температуру. Это условие, как будет показано, не трудно выполнить.

Анализ температурной функции (13) показывает, что до времени максимума, в котором реализуется измерение, температура достаточно точно определена только первым рядом, если

$$\frac{2a}{\sqrt{k_1 t}} \gg 1, \quad (14a)$$

$$\frac{3b}{\sqrt{k_2 t}} \gg 1. \quad (14b)$$

Эти условия можно на практике выполнить таким образом, что радиус внутреннего цилиндра выбирается в несколько раз большим, чем его толщина. Нетрудно показать, что из этой первой суммы можно с достаточной точностью взять только первый член, если  $\kappa < 10$  или

$$(b-a) > (r-b) \sqrt{k_1/k_2}. \quad (14c)$$

Условие (14c) можно на практике также хорошо выполнить (выбором подходящего материала и расстояния, в котором помещается температурный индикатор). При условиях (14a—14c) из функции (13) ее временного максимумавлекают следующие формулы, пригодные для измерения:

$$k_1 = \frac{(b-a)^2}{\left[ \sqrt{2t_m} - \frac{r-b}{\sqrt{k_2}} \right]^2}, \quad (15a)$$

$$\lambda_1 = \left[ 0,682 \frac{Q_0}{T_m} \left( \frac{a}{r t_m} \right)^{1/2} - \frac{\lambda_2}{\sqrt{k_2}} \right] \frac{b-a}{\left[ \sqrt{2t_m} - \frac{r-b}{\sqrt{k_2}} \right]}. \quad (15b)$$

При измерении серии образцов одинаковой геометрии и приближительно одинаковых тепловых параметров выгодно геометрические факторы и мощность теплового источника, а также тепловые параметры вещества, в котором помещен образец, ввести в константы, которые можно с выгодой определить измерением на нормали (напр. свинец, вола и т. д.). Если бы мы при расчете времени экстремума взяли во внимание и следу-

юний член первого ряда функции (13), мы бы получили для температуры проводимости следующее формальное выражение:

$$k_1 = \frac{(b - a)^2}{\left[ \sqrt{2t_m} (1 + p) - \frac{r - b}{\sqrt{k_2}} \right]}, \quad p = \frac{1}{4} \frac{\kappa e^{-4q}}{1 + 2q},$$

$$q = \frac{1}{(1 + \delta)^2}; \quad \delta = \frac{r - b}{r - a} \left( \frac{k_1}{k_2} \right)^{1/2}. \quad (16)$$

С точностью лучшеей чем 1 % можно пользоваться уравнением (15а), если выполнено  $b - a > \frac{1}{3} (r - b) \sqrt{k_1/k_2}$ . Выполнением условия (14с) это условие всегда выполнено.

## 2. 4 Метод постоянного обогрева на шарированном образце

Аналогично предыдущему случаю (см. приложение 2) можно найти функцию, которая определяет изменение температуры на поверхности образца вида полого цилиндра, когда в его среде действует тепловой источник с постоянной мощностью. Она имеет вид:

$$T(b, t) = \frac{i_0 ab}{b \lambda (b^2 - a^2)} \left[ 2kt - \frac{b^2 + a^2}{2} \right] + \frac{2i_0}{b \lambda} \sum_{i=1}^{\infty} \frac{\gamma}{\alpha_i^2 (1 - \gamma_i^2)} e^{-\alpha_i k t}, \quad (17)$$

где  $i_0$  — количество тепла, переданное единицею площади за единицу времени,  $I_1$  — функция Бесселя первого порядка второго рода,  $\gamma_i$  — функция Бесселя первого порядка первого рода,  $\alpha_i$  — корни уравнения

$$I_1(\alpha_i a) Y_1(\alpha_i b) - I_1(\alpha_i b) Y_1(\alpha_i a) = 0. \quad (18)$$

С ростом  $t$  последний член соотношения (17) быстро падает до нуля, так что зависимость температуры от времени становится линейной (рис. 5).

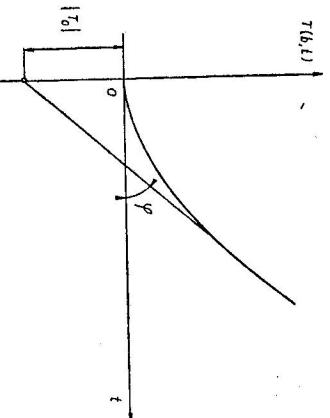


Рис. 5. Временная зависимость температуры на поверхности образца вида полого цилиндра при методе постоянного источника тепла на термоизолированном образце.

Для определения теплопроводимости, температуропроводимости и теплоемкости достаточно снять из графика величину  $T_0$  и наклон  $\operatorname{tg} \varphi$ . Можно легко показать, что для них действительны соотношения

$$\lambda = \frac{i_0 a (b^2 + a^2)}{2|T_0|(b^2 - a^2)}, \quad (19a)$$

$$k = \frac{b^2 + a^2}{4|T_0|} \operatorname{tg} \varphi, \quad (19b)$$

$$c = \frac{2i_0 a}{(b^2 - a^2) \gamma \operatorname{tg} \varphi}. \quad (19c)$$

Условия для измерения нужно выбирать так, чтобы касательная линейной части зависимости  $T = f(t)$  пересеклась вертикальной осью на определенном подходящем расстоянии, которое можно после легко измерить.

## 3. ЭКСПЕРИМЕНТАЛЬНАЯ УСТАНОВКА

Для проверки измерительных методов, разработанных в предыдущих параграфах, были сконструированы несколько установок, с помощью которых были измерены тепловые параметры многих твердых и жидкких материалов.

На рис. 6 указана схема аппарата пригодной для реализации модифицированного метода Йорфе (напр. 2.4). Тело ограниченной теплоемкости

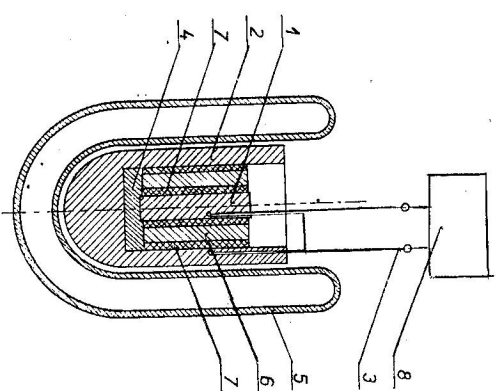


Рис. 6. Сечение приспособления для измерения теплопроводности образцов вида полого цилиндра модифицированным методом Йорфе (1 — мольный цилиндр, 2 — внутренний блок, 3 — дифференциальная термопара, 4 — пентрирующее кольцо из термоэлектрически изолированного материала, 5 — льюисовский сосуд, 6 — измеряемый образец, 7 — нормальная жидкость, 8 — регистрационный милливольтметр).

осуществлено медным цилиндром (1) в размерах приблизительно  $\Phi 2,4 \times 5$  см. Внешний блок теоретически бесконечно большой и является тоже медным цилиндром (2) с внутренним диаметром 4,8 см и внешним приблизительно 10 см. Оба блока соединены дифференциальной термопарой (3), которая подключена к чувствительному и мало инерционному индикатору термоэлс. Дно внешнего сосуда покрыто слоем термоизолятора (4), например резина, полистирол и т. д. Образец с цилиндрами вложен в термостат, создаваемый другим сосудом с жидкостью (5). Если не измеряется температурная зависимость тепловых параметров, то выгоднее использовать в качестве термостатной жидкости смесь льда и воды, которая стабилизирует температуру внешнего блока. Когда измеряются параметры жидкости, тогда заполняется пространство между блоками измеряемой жидкостью.

Когда измеряются параметры твердых тел, то вкладывается образец (6) вода полого цилиндра с толщиной стенки немногим меньшей, чем расстояние между внутренним и внешним блоком, симметрически между обеими блоками и пустое пространство заполняется нормальной жидкостью (7).

На рис. 7 показана схема установки для измерения по методу, описанному в параграфе 2.3. Очевидно, ту же установку можно использовать также для измерения по методам, описанным в параграфе 2.2 и 2.4. В основной рамке (1) укрепленный сосуд (2), стена которого внутренняя, созает

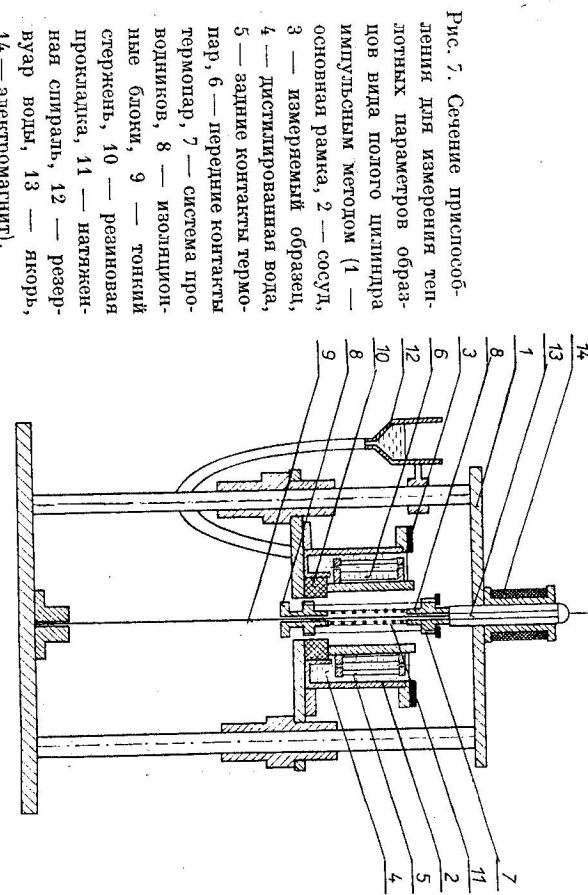


Рис. 7. Сечение приспособления для измерения тепловых параметров образцов полого цилиндра импульсным методом (1 — основная рамка, 2 — сосуд, 3 — измеряемый образец, 4 — дистилированная вода, 5 — задние контакты термопар, 6 — передние контакты термопар, 7 — система проводников, 8 — изолидонные блоки, 9 — тонкий стержень, 10 — реаниновая прокладка, 11 — настяжная спираль, 12 — резиновая прокладка, 13 — якорь, 14 — электромагнит).

измеряемый образец (3). Сосуд наполнен дистилированной водой (4). Чтобы вода не вытекала, образец нижней плоскостью прикат к резиновой подкладке (10), которая одновременно выполняет роль термоизолятора. Сосуд соединен трубочкой с резервуаром воды и методом соединенных сосудов регулируется уровень воды в сосуде. К измеряемому образцу с внешней стороны прикат с обеих сторон багарей термопар, изготовленных нанесением меди на одну половину витков из константовой проволоки. Передние контакты термопар (6) находятся на таком расстоянии, чтобы время максимума без образца было 3—10 секунд. При использовании дистилированной воды соответствует этому толщина около 1 мм. Задние контакты термопар (5) находятся на таком расстоянии, чтобы температура

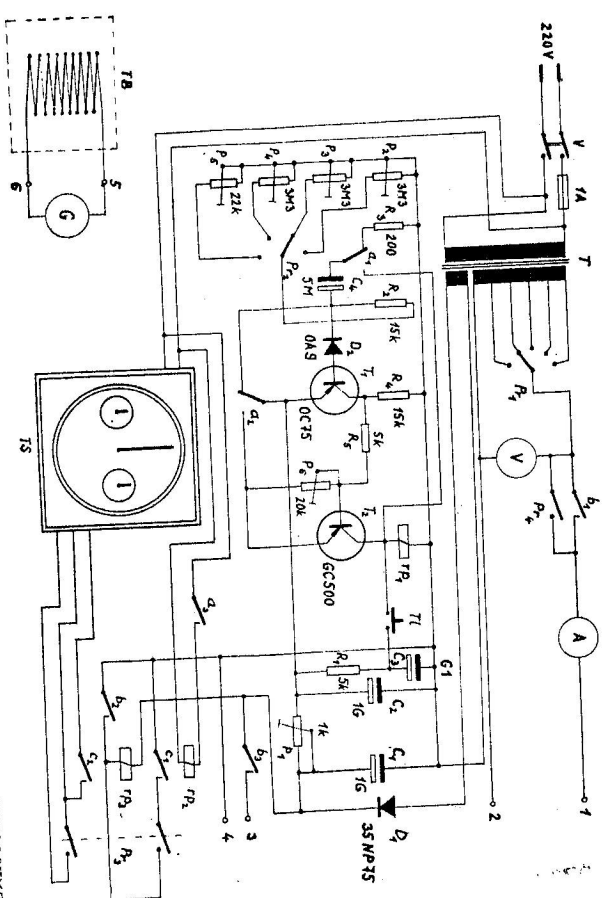


Рис. 8. Схема электрической части измерительной аппаратуры для измерения тепловых параметров импульсным методом (1 — трансформатор 220 вольт (55; 44; 33; 22; 11);  $r_1$ ,  $r_2$ ,  $r_3$  — реле;  $a_1$  — контакты реле  $r_1$ ;  $b_1$  — контакты реле  $r_2$ ;  $c_1$  — контакты реле  $r_3$ ;  $TS$  — технический секундомер завода Электроточ, типа  $T_3S$ ;  $P_1$  — переключатель ступенчатой настройки мощности для плюсциального источника тепла (клещи 1, 2);  $P_2$  — переключатель для настройки продолжительности теплового импульса (1—4 сек.);  $P_3$  — переключатель (верхняя часть — выключение; нижняя часть — установка нуля секундометра);  $P_4$  — настройка гальванометра (клещи 5—6); — гальванометр Мультифлекс, тип ГМ1).

в этом месте не изменялась во времени  $t_m$  (по теплопроводности образца 1—3 см). В отверстии образца на тонком стержне (9) помешан источник тепла. Он состоит из двух электрических изолированных блоков (8), которые по окружности соединены системой проводников (7) с соответствующим большим электрическим сопротивлением. Проволоки соединены параллельно или последовательно и подключены к источнику напряжения. Мощность источника должна быть 10—200 ватт.

Источник тепла во время прохождения тока в образце удержан якорем (13) электромагнита (14), который после питания теплового импульса освободит якорь и источник собственным весом из образца выпадает. Электрическая часть измерительной установки состоит из транзисторного переключателя, источника напряжения для источника тепла, источника напряжения для регулирования магнита и из устройства для автоматического выключения электрического секундомера. Общая схема этой установки указана на рис. 8.

При измерении по методу, описанному в параграфе 2.2, используется та же аппаратура, только вместо термопар, помещенных в жидкости, в этом случае в качестве индикатора температуры термопара помещается

прямо в измеряемом образце. В методе приведенном в параграфе 2.4 источник тепла подключается на постоянную мощность и термопара прикрепляется на поверхность измеряемого образца.

#### 4. ИЗМЕРЕНИЕ И ОЦЕНКА МЕТОДОВ

Измерение модифицированным методом Йоффе является очень простым.

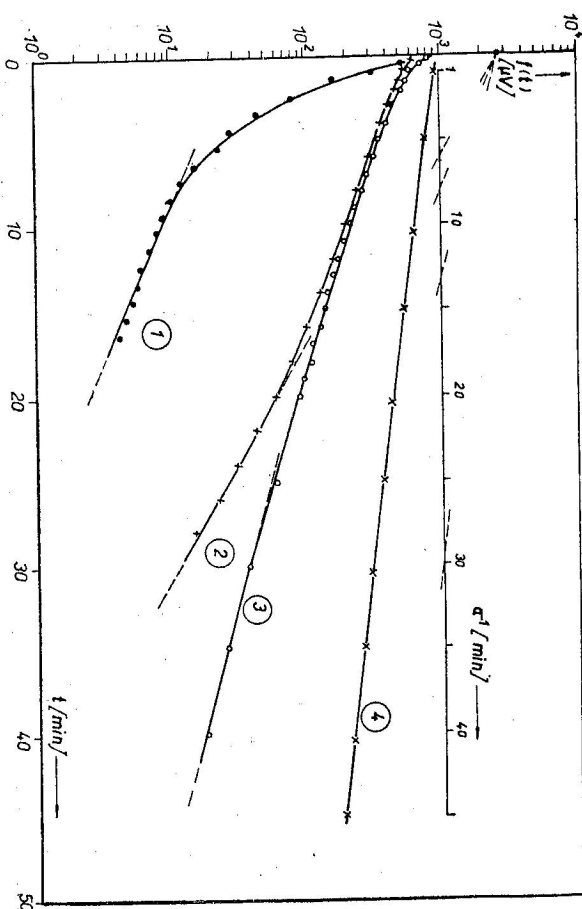


Рис. 9. Изменение временные зависимости термо эдс дифференциальной термогармоники  $f(t) = V_{02} - V(t)$  для дистилированной воды — 1; плексигласа (в дистилированной воде) — 2; глицерина — 3 и сосуда без образца — 4.

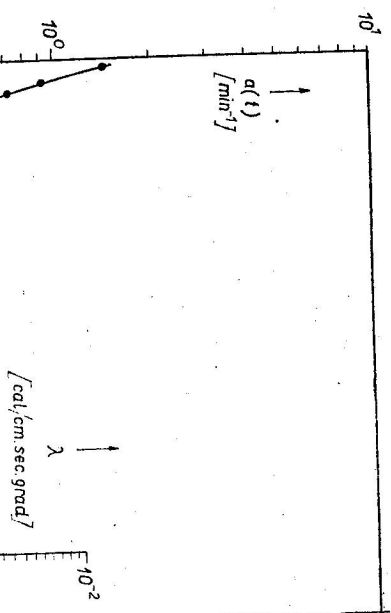


Рис. 10. Временная зависимость величины  $\alpha(t)$  для дистилированной воды — 1; плексигласа (в дистилированной воде) — 2; глицерина — 3 и сосуда без образца — 4.

Разницу температур между внутренним блоком и остальной аппаратурой (включая и образцы) мы достигли тем, что перед измерением мы опускали цилиндр в смесь льда и воды. После того как достигнем температуру этой смеси, цилиндр переносится быстро в измеримую среду и включается дифференциальная термопара в индикатор термо а.с.

Действие выведенных отношений мы проверили измерением гипсокрина, дистилированной воды и плексигласа. Учитывая относительно никакую теплопроводность этих веществ можно предполагать, что процесс происходит квазистационарно и что выведенные отношения будут верными.

Измерение подтвердило это предположение.

На рис. 9 показаны записи соответствующих функций  $T - T_{02} = f(t)$  и на рис. 10 показаны теплопроводности указанных веществ, оцененные соотношением (3). Видно, что данные, полученные сразу в начале, не являются достоверными, но данные, полученные после некоторого времени, дают очень хорошее согласие с теорией. Абсолютную точность измерения теплопроводности можно оценить этим методом на 3—12 %.

Метод импульсного источника на образцах, помещенных в другом материале, был проверен на серии графитовых образцов завода „Электрокарбон“. Графитовые трубы были помещены в дистилированной воде. Константы, выступающие в отношении (15), были определены измерением на свинцовом нормальном элементе. В таблице 1 приведены измеренные величины времени  $t_m$  и разности температур  $T_m$ , теплопроводности, рассчитанной в соотношении (15) и теплопроводности, измеренной стационарным (классическим) методом.

Таблица 1

Образец №	$t_m$ [сек]	$T_m$ [град.]	$\lambda$ расчетное [кал/см. град. сек]	$\lambda$ стационарное [кал/см. град. сек]
свинец	15,2	112	0,084	0,084
японский графит	10,6	135	0,145	0,149
12	11,72	130	0,149	0,135
10	12,5	160	0,082	0,090
13	11,1	144	0,051	0,050
15	17,2	118	0,028	0,037
2	12,2	144	0,024	0,023
латунь	17,3	72	0,091	0,084

При оценке этих результатов нужно иметь ввиду, что измеряемые образцы представляют собой самый неблагоприятный случай — это образцы с большой теплопроводностью, причем толщина стенки была относительно

малой (5—7 мм). Теоретические предположения, при которых выполняется соотношение (15), были выполнены только на 10—20 %. С этой точки зрения согласие величин можно считать хорошим. Результаты, полученные измерением на образцах с меньшей теплопроводностью (керамические трубы), были гораздо лучше и их точность можно оценить 5—8 %. Теплопроводность измеряется этим методом гораздо точнее потому, что в соотношении (15а) не выступает ни мощность источника, ни время теплового импульса, ни температура  $T_m$ .

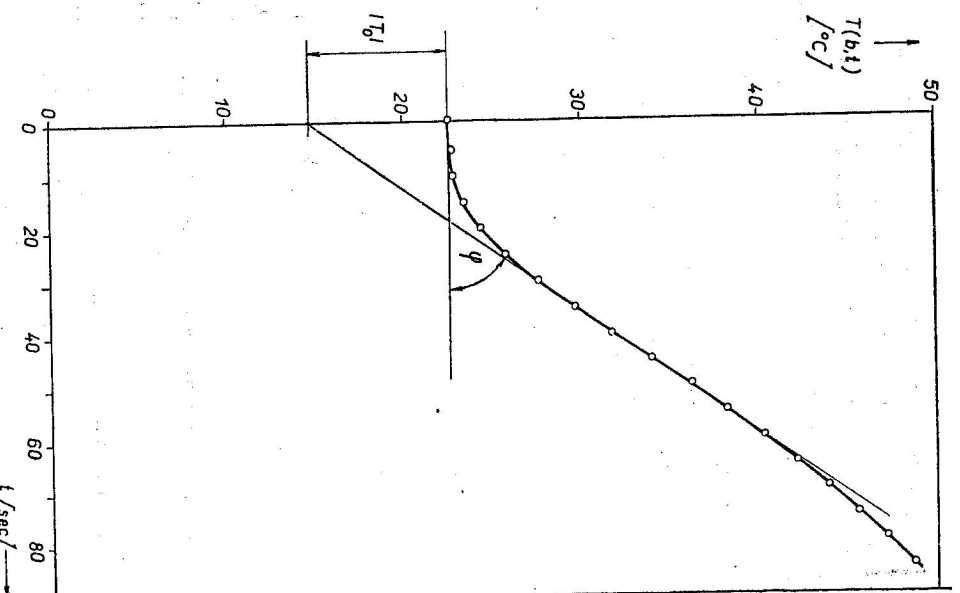


Рис. 11. Временная зависимость температуры  $T(b, t)$  для образца из плексигласа вида полого цилиндра, измеренная методом постоянного обогрева.

Метод постоянного обогрева был проверен на образце из пленки стекла.

Графическая зависимость  $T = f(t)$ , полученная измерением, показана на рис. 11. По величине  $T_0$ , снятой с графика и по наклону его линейной части с помощью соотношений (19a) (19c) мы рассчитали тепловые параметры, которые были в правильном согласии с данными, известными из таблиц.

## 5. ЗАКЛЮЧЕНИЕ

В статье были теоретически разработаны четыре новых варианта нестационарного метода тепловых параметров образцов вида полого цилиндра. Теоретические результаты, соответствующие именно распространению тепла через образец, помещенный в другой материал, оказались относительно сложнее и к измерению их можно использовать только при выполнении нескольких дополнительных условий. Экспериментальная проверка полученных выражений показала, что предлагаемые методы являются удобными для различных сортов веществ — твердых, порошкообразных и жидких, и с учетом скорости измерения, простоты аппаратуры и малым влиянием тепловых потерь могут хорошо использоваться главным образом там, где нужно измерить большое количество образцов.

### ПРИЛОЖЕНИЕ 1

Дифференциальное уравнение теплопроводности в первой или во второй среде имеет вид

$$\frac{1}{k_1} \frac{\partial T_1(r, t)}{\partial t} = \frac{1}{r} \frac{\partial}{\partial r} \left[ r \frac{\partial T_1(r, t)}{\partial r} \right], \quad (20a)$$

$$\frac{1}{k_2} \frac{\partial T_2(r, t)}{\partial t} = \frac{1}{r} \frac{\partial}{\partial r} \left[ r \frac{\partial T_2(r, t)}{\partial r} \right], \quad (20b)$$

где  $k_1$  — температуропроводность первой среды,  $k_2$  — температуропроводность второй среды,  $T_1$ ,  $T_2$  — температуры сред,  $r$  — расстояние от оси полого цилиндра.

Нужно найти их решение при следующих начальных условиях

$$T_1(r, 0) = 0, \quad (21a)$$

$$T_2(r, 0) = 0 \quad (21b)$$

и следующих краевых условиях

$$-\lambda_1 \frac{\partial T_1}{\partial r} \Big|_{r=a} = i(t), \quad i(t) = \begin{cases} i_0 & 0 \leq t \leq t_0, \\ 0 & t > t_0 \end{cases}, \quad (22a)$$

$$-\lambda_1 \frac{\partial T_1}{\partial r} \Big|_{r=b} = -\lambda_2 \frac{\partial T_2}{\partial r} \Big|_{r=b}, \quad (22b)$$

$$T_1(b, t) = T_2(b, t). \quad (22c)$$

Преобразованием Лапласа приведем дифференциальные уравнения и краевые условия к следующему виду  $\int f(r, p) = \int_0^\infty e^{-pt} f(r, t) dt$

$$\frac{p}{k_1} \bar{T}_1(r, p) = \frac{1}{r} \frac{\partial}{\partial r} \left[ r \frac{\partial \bar{T}_1(r, p)}{\partial r} \right], \quad (23a)$$

$$\frac{p}{k_2} \bar{T}_2(r, p) = \frac{1}{r} \frac{\partial}{\partial r} \left[ r \frac{\partial \bar{T}_2(r, p)}{\partial r} \right], \quad (23b)$$

$$-\lambda_1 \frac{\partial \bar{T}_1}{\partial r} \Big|_{r=a} = \frac{i_0}{p} (1 - e^{-pt_0}), \quad (23c)$$

$$-\lambda_1 \frac{\partial \bar{T}_1}{\partial r} \Big|_{r=b} = -\lambda_2 \frac{\partial \bar{T}_2}{\partial r} \Big|_{r=b}, \quad (23d)$$

$$\bar{T}_1(b, p) = \bar{T}_2(b, p).$$

Решение уравнений (23a) и (23b) можно записать в виде

$$\bar{T}_1(r, p) = A I_0(q_1 r) + B K_0(q_1 r), \quad q_1 = (p/k_1)^{1/2}, \quad (24a)$$

$$\bar{T}_2(r, p) = C K_0(q_2 r), \quad q_2 = (p/k_2)^{1/2}, \quad (24b)$$

где  $I_0$  — функция Бесселя нулевого порядка первого рода,  $K_0$  — функция Магнональда нулевого порядка.

Если источник тепла действует кратковременно и с каждой единицы площади образца отдает тепло  $\Delta Q$ , то правую сторону уравнения (23c) можно привести к виду

$$\lim_{t \rightarrow 0} \frac{i_0}{p} (1 - e^{-pt_0}) = \Delta Q, \quad i_0 t_0 = \text{const} = \Delta Q.$$

Уравнение (23c) примет тогда вид

$$-\lambda_1 \frac{\partial \bar{T}_1}{\partial r} \Big|_{r=a} = \Delta Q.$$

Постоянные A, B, C определяются из краевых условий. После соответствующих расчетов получим решение в виде

$$\begin{aligned} \bar{T}_1(r, p) &= \frac{\Delta Q}{\lambda_1 q_1(N_1 + N_2)} \left\{ I_0(q_1 r) [\lambda_2 q_2 K_1(q_2 b) K_0(q_1 b) - \lambda_1 q_1 K_1(q_1 b) K_0(q_2 b)] - \right. \\ &\quad \left. - K_0(q_1 r) [\lambda_2 q_2 K_1(q_2 b) I_0(q_1 b) + \lambda_1 q_1 I_1(q_1 b) K_0(q_2 b)] \right\}, \end{aligned} \quad (25a)$$

$$\begin{aligned} \bar{T}_2(r, p) &= \frac{\Delta Q}{q_1 b} \frac{K_0(q_2 r)}{N_1 + N_2}, \end{aligned} \quad (25b)$$

где

$$N_1 = \lambda_1 q_1 K_0(q_2 b) [I_1(q_1 a) K_1(q_1 b) - I_1(q_1 b) K_1(q_1 a)],$$

$$N_2 = \lambda_2 q_2 K_1(q_2 b) [I_1(q_1 a) K_0(q_1 b) + I_0(q_1 b) K_1(q_1 a)].$$

Ввиду того, что температуру при измерении регистрируем в другой среде, то достаточно искать оригинал только изображения  $T_2(r, p)$ . При решении этой задачи используем асимптотическое выражение для функции Бесселя и функции Макдональда

$$K_r(x) = \left( \frac{\pi}{2x} \right)^{\frac{1}{2}} e^{-x} M_r(x), \quad (26a)$$

$$I_\nu(x) = \left( \frac{1}{2\pi x} \right)^{\frac{1}{2}} e^x W_\nu(x), \quad (26b)$$

где

$$M_\nu(x) = 1 + \frac{4\nu^2 - 1^2}{4! (8x)} + \frac{(4\nu^2 - 1^2)(4\nu^2 - 3^2)}{2! (8x)^2} + O\left(\frac{1}{x^3}\right),$$

$$W_\nu(x) = 1 - \frac{4\nu^2 - 1^2}{2! (8x)^2} + \frac{(4\nu^2 - 1^2)(4\nu^2 - 3^2)}{2! (8x)^2} + O\left(\frac{1}{x^3}\right).$$

В функциях  $M_\nu$  и  $W_\nu$  будем вместо переменной  $q_2$  писать  $q_2 = \left(\frac{k_1}{k_2}\right)^{\frac{1}{2}} q_1$  и переменную  $q_1$  обозначим через  $x$ . Тогда функцию  $T_2(r, p)$ , в которую подставим соотношения (26), разложим по степеням  $1/x$ . Если ограничимся полевой аппроксимацией, то получим функцию  $T_2(r, p)$  в виде

$$\begin{aligned} \bar{T}_2(r, p) &= \frac{\Delta Q}{q_1} \left( \frac{a}{rk_1} \right)^{\frac{1}{2}} \frac{\exp[-q_2(r - b)]}{\sqrt{\lambda_1 \gamma_1 c_1} \sin[q_1(b - a)] + \sqrt{\lambda_2 \gamma_2 c_2} \cosh[q_1(b - a)]} - \\ &\quad - \frac{\Delta Q}{8k_1 r q_1^2} \left( \frac{ak_2}{r} \right)^{\frac{1}{2}} \frac{\exp[-q_2(r - b)]}{\sqrt{\lambda_1 \gamma_1 c_1} \sin[q_1(b - a)] + \sqrt{\lambda_2 \gamma_2 c_2} \cosh[q_1(b - a)]} \end{aligned}$$

Нужно найти решение дифференциального уравнения теплопроводности, где  $k$  — температуропроводность,  $T(r, t)$  — температура среды,  $r$  — расстояние от оси полого цилиндра, при следующих начальных и краевых условиях:

$$T(r, 0) = 0,$$

$$\frac{1}{r} \cdot \frac{\partial T(r, t)}{\partial t} = \frac{1}{r} \frac{\partial}{\partial r} \left[ r \frac{\partial T(r, t)}{\partial r} \right], \quad (28)$$

аналогично предыдущему случаю и здесь используем метод преобразования Лапласа, причем уравнение (28) и условие (29) примут вид

$$\begin{aligned} &- \frac{\Delta Q}{8q_1^2} \left( \frac{a}{rk_1} \right)^{\frac{1}{2}} \frac{\sqrt{\lambda_1 \gamma_1 c_1} \exp[-q_2(r - b)]}{\{ \sqrt{\lambda_1 \gamma_1 c_1} \sin[q_1(b - a)] + \sqrt{\lambda_2 \gamma_2 c_2} \cosh[q_1(b - a)] \}^2} - \\ &- \frac{\Delta Q}{8q_1^2} \left( \frac{a}{rk_1} \right)^{\frac{1}{2}} \frac{\sqrt{\lambda_2 \gamma_2 c_2} \exp[-q_2(r - b)] \left( \frac{3}{a} - \frac{1}{b} \right) \sin[q_1(b - a)]}{\{ \sqrt{\lambda_1 \gamma_1 c_1} \sin[q_1(b - a)] + \sqrt{\lambda_2 \gamma_2 c_2} \cosh[q_1(b - a)] \}^2} + \\ &+ \frac{\Delta Q}{8q_1^2} \left( \frac{a}{rk_1} \right)^{\frac{1}{2}} \frac{\sqrt{\lambda_1 \gamma_1 c_1} \exp[-q_2(r - b)] \frac{1}{b} \left( \frac{k_2}{k_1} \right)^{\frac{1}{2}} \sin[q_1(b - a)]}{\{ \sqrt{\lambda_1 \gamma_1 c_1} \sin[q_1(b - a)] + \sqrt{\lambda_2 \gamma_2 c_2} \cosh[q_1(b - a)] \}^2} - \\ &- \frac{\Delta Q}{8q_1^2} \left( \frac{a}{rk_1} \right)^{\frac{1}{2}} \frac{\sqrt{\lambda_2 \gamma_2 c_2} \exp[-q_2(r - b)] \frac{3}{b} \left( \frac{k_2}{k_1} \right)^{\frac{1}{2}} \cosh[q_1(b - a)]}{\{ \sqrt{\lambda_1 \gamma_1 c_1} \sin[q_1(b - a)] + \sqrt{\lambda_2 \gamma_2 c_2} \cosh[q_1(b - a)] \}^2}. \end{aligned} \quad (27)$$

Если введем аналогичные обозначения, как в функции (13) основного текста и проведем соответствующие упорядочения, мы можем с помощью таблицы (16) найти оригинал функции  $T_2(r, p)$ . Он определен функцией (13) основного текста.

## ПРИЛОЖЕНИЕ 2

аналогично предыдущему случаю и здесь используем метод преобразования Лапласа, причем уравнение (28) и условие (29) примут вид

$$\begin{aligned} &- \frac{1}{r} \frac{\partial T}{\partial r} \Big|_{r=a} = i_0, \\ &- \frac{1}{r} \frac{\partial T}{\partial r} \Big|_{r=b} = 0. \end{aligned} \quad (29c)$$

$$\frac{p}{k} \bar{T}(r, p) = \frac{1}{r} \frac{\partial}{\partial r} \left[ r \frac{\partial \bar{T}(r, p)}{\partial r} \right], \quad (30a)$$

$$-\lambda \frac{\partial \bar{T}}{\partial r} \Big|_{r=a} = \frac{i_0}{p}, \quad (30b)$$

$$\frac{\partial \bar{T}}{\partial r} \Big|_{r=b} = 0. \quad (30c)$$

Решение уравнения (30a) имеет вид

$$\bar{T}(r, p) = A I_0(qr) + B K_0(qr). \quad (31)$$

Постоянные  $A, B$  определим из уравнений (30b, c) и для функции  $T(r, p)$  получим соотношение

$$\bar{T}(r, p) = \frac{i_0}{\lambda qp} \cdot \frac{K_1(qb) I_0(qr) + I_1(qb) K_0(qr)}{I_1(qb) K_1(qa) - I_1(qa) K_1(qb)}. \quad (32)$$

Метод измерения предполагает измерение температуры на поверхности обраца ( $r = b$ ). При упорядочении функции (32) используем известные рекуррентные формулы для функции Бесселя смотри, напр, [18].

$$I_\nu(x) K_{\nu+1}(x) + K_\nu(x) I_{\nu+1}(x) = \frac{1}{x},$$

$$I'_\nu(x) = I_{\nu-1}(x) - \frac{1}{x} I_\nu(x),$$

$$K'_\nu(x) = -K_{\nu-1}(x) - \frac{1}{x} K_\nu(x),$$

$$2\nu I_\nu(x) = x I_{\nu-1}(x) - x I_{\nu+1}(x). \quad (33)$$

С помощью соотношений (33) для  $r = b$  можно функцию  $T(r, p)$  записать в виде

$$\bar{T}(b, p) = \frac{i_0}{b \lambda p q^2} \cdot \frac{1}{I_1(qb) K_1(qa) - I_1(qa) K_1(qb)}. \quad (34)$$

Эта функция имеет простые полюса в точках  $p_i = -ka_i^2$ , где  $a_i$  — корни уравнения

$$I_1(\alpha a) Y_1(\alpha b) - I_1(\alpha b) Y_1(\alpha a) = 0. \quad (35)$$

В точке  $p = 0$  имеет эта функция двойной полюс. Хотя для простых полюсов найдем вычет по соотношению (с помощью уравнений (33)).

$$\begin{aligned} C_0^{-1} &= \lim_{p \rightarrow p_i} \frac{p - p_i}{p^2 [I_1(qb) K_1(qa) - I_1(qa) K_1(qb)]} \cdot \frac{k i_0}{\lambda b} = \\ &= \frac{k i_0}{b \lambda} \cdot \frac{2 \gamma_i}{k a_i^2 (1 - \gamma_i^2)}, \end{aligned} \quad (36)$$

$$\gamma_i = \frac{I_1(\alpha a)}{I_1(\alpha b)}.$$

Используя соотношения (33), получим для двойного полюса

$$\begin{aligned} C_0^{-2} &= \left[ \frac{d}{dp} p^2 \bar{T}(b, p) \right]_{p=0} = \frac{i_0 k}{b \lambda} \left| \frac{dq}{dp} \frac{d}{dq} \left[ \frac{1}{I_1(qb) K_1(qa) - I_1(qa) K_1(qb)} \right] \right|_{q=0} = \\ &= -\frac{i_0}{2 \lambda} \frac{a(b^2 + a^2)}{b^2 - a^2}, \end{aligned} \quad (37a)$$

$$\begin{aligned} C_0^{-2} &= \lim_{p \rightarrow p_0} p^2 \bar{T}(b, p) = \frac{i_0 k}{b \lambda} \lim_{p \rightarrow 0} \frac{1}{I_1(qb) K_1(qa) - I_1(qa) K_1(qb)} = \\ &= \frac{i_0 k}{\lambda} \frac{2a}{b^2 - a^2}. \end{aligned} \quad (37b)$$

Поэтому оригинал функции  $\bar{T}(b, p)$  будет иметь вид

$$\begin{aligned} T(b, t) &= C_0^{-1} + C_0^{-2} t + \sum_{i=1}^{\infty} C_i^{-1} \exp[-ka_i^2 t] = -\frac{i_0}{2 \lambda} \frac{a(b^2 + a^2)}{b^2 - a^2} + \\ &+ \frac{i_0 k}{\lambda} \frac{2a}{b^2 - a^2} t + \sum_{i=1}^{\infty} \frac{2i_0}{b \lambda} \frac{\gamma_i}{a_i^2 (1 - \gamma_i^2)} \exp[-ka_i^2 t], \end{aligned} \quad (38)$$

из которого просто получаем функцию в виде (17), приведенную в основном тексте.

#### ЛИТЕРАТУРА

- [1] Кондратьев Г. М., *Тепловое измерение*. Машиз, Москва 1957.
- [2] Wilkes G. B., *Heat Insulation*. J. Wiley and Sons, New York 1950.

- [3] Kannulnik W. G., Martin L. H., Proc. Roy. Soc. A 141 (1933), 144.
- [4] Иоффе А. В., Иоффе А. Ф., ЖТФ 28 (1958), 2358.
- [5] Иоффе А. Ф., Физика полупроводников. М-Л ИАН СССР, 1957.
- [6] Жуасов П., Регель А. П., ЖТФ 23 (1952) 1367.
- [7] Чудновский А. Ф., Теплообмен в дисперсионных средах. Гостехиздат, Москва 1954.
- [8] Каганов М. А., ЖТФ 28 (1958), 2364.
- [9] Swann W. G., J. Frank. Inst. 268, (1959), 294.
- [10] Термо и массоперенос, Сборник статей, Минск ИАН БССР (1962), 94.
- [11] Вышнелский Е. Е., Труды естественного научно-исследовательского института. 2 (1958), 25.
- [12] Kremplaský J., Czech. J. Phys. B 14 (1964), 533.
- [13] Kremplaský J., Čas. Fys. 16, (1966), 136.
- [14] Кулаков М. Б., ЖТФ 1 (1952).
- [15] Дмитриевич А. Д., Определение теплофизических свойственных материалов. Москва 1963.
- [16] Carslaw H. S., Jaeger J. C., Conduction of Heat in Solid. Oxford 1959.
- [17] Whitehead, Electrician 99 (1927), 225.
- [18] Watson, A treatise on the Theory of Bessel Functions. Cambridge, ed. 2 (1944).

Поступило в Редакцию 29 августа 1966 г.

Katedra fyziky  
Elektrotechnickej fakulty SVŠT,  
Bratislava